ОСНОВЫ СОЗДАНИЯ КЛАССИФИКАТОРА К ЦИФРОВОЙ КРИОЛОГИЧЕСКОЙ КАРТЕ МАРСА

И.А. КОМАРОВ, В.С. ИСАЕВ, О.Н. АБРАМЕНКО, В.В.БАЛМАШЕВА МГУ ИМ. М.В.ЛОМОНОСОВА ГЕОЛОГИЧЕСКИЙ Ф-Т

ОСНОВНЫЕ ЗАДАЧИ ПРИ СОЗДАНИИ КЛАССИФИКАТОРА К ЦИФРОВОЙ КРИОЛОГИЧЕСКОЙ КАРТЕ МАРСА:

- Сведение фактического материала, полученного в ходе дистанционных и полевых исследований области изучения к единому виду
- Структурирование фактического материала
- □ Создание связей между атрибутивными данными
- □ Выбор принципа и метода построения легенды геокриологической карты

Три блока данных классификатора:

- Топографический
- ◆Геологический
- ◆ Геокриологический

Основные сведения о Марсе

Температурный режим поверхности планеты обусловлен главным образом сезонным режимом поступающей солнечной радиации.

Поток солнечной энергии на единицу поверхности Марса составляет около 40% потока на единицу поверхности Земли.

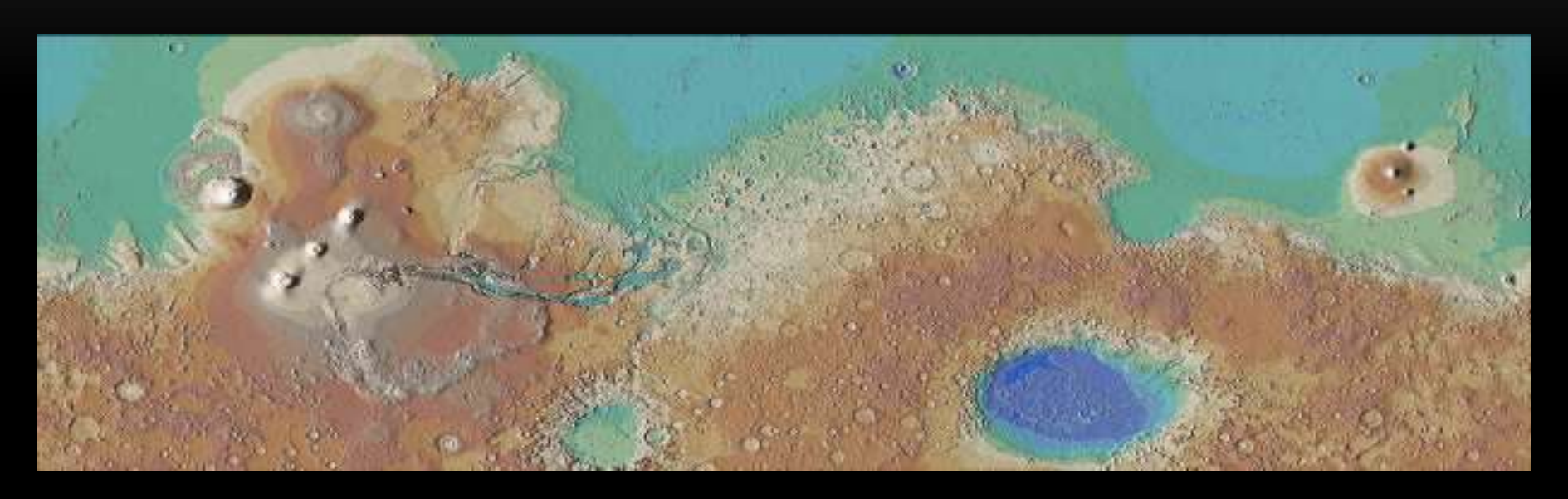
Как и на Земле, температура поверхности Марса зависит от широты, орографических особенностей, и подвержена более сильным чем на Земле суточным и сезонным колебаниям.

Амплитуда суточных колебаний составляет до 100°C и более.

Температура поверхности Марса усредненная по сезонам и широтам <u>- 63 °C</u>. <u>Максимальные дневные</u> температуры от <u>+15 °C</u> летом до - <u>60 °C</u> зимой. <u>Минимальные ночные</u> температуры от <u>-65 °C</u> летом до - <u>140 °C</u> зимой (в полярных областях).

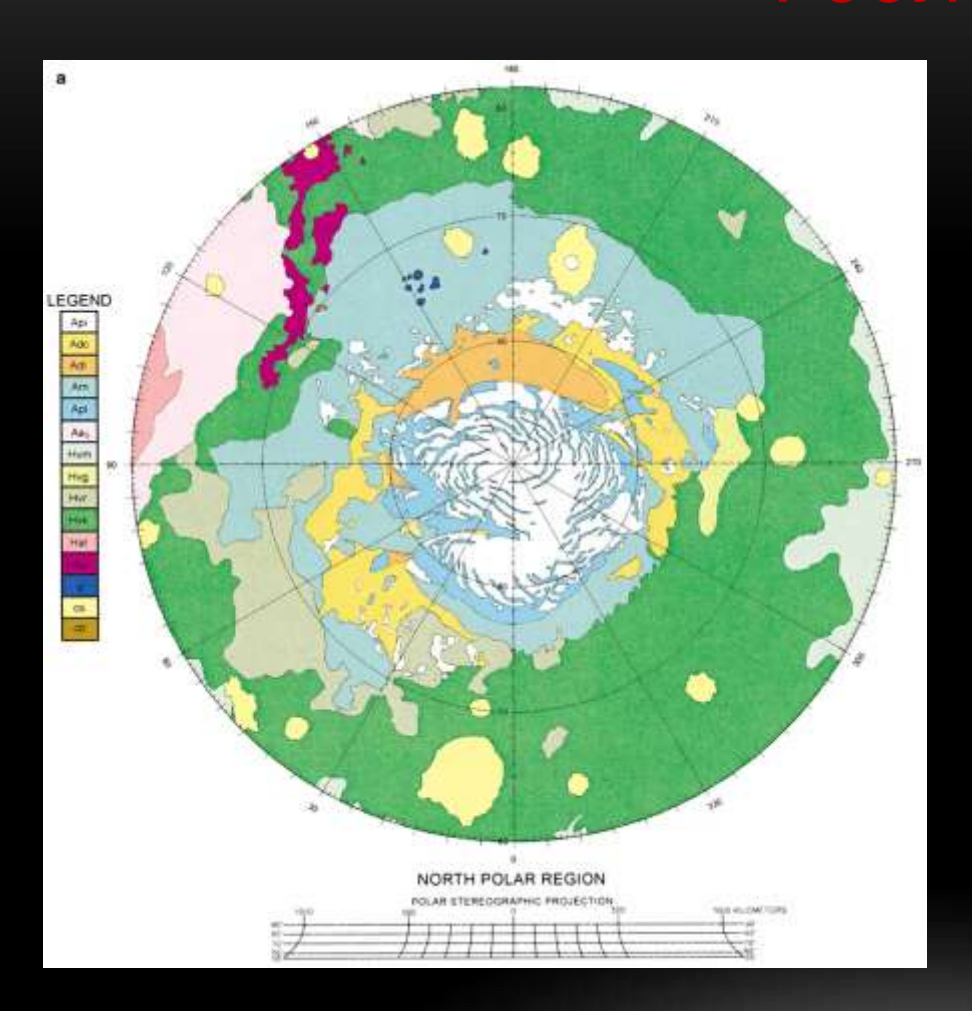
На Земле минимальная температура -82,5 С зарегистрирована на станции «Восток » (Антарктида).

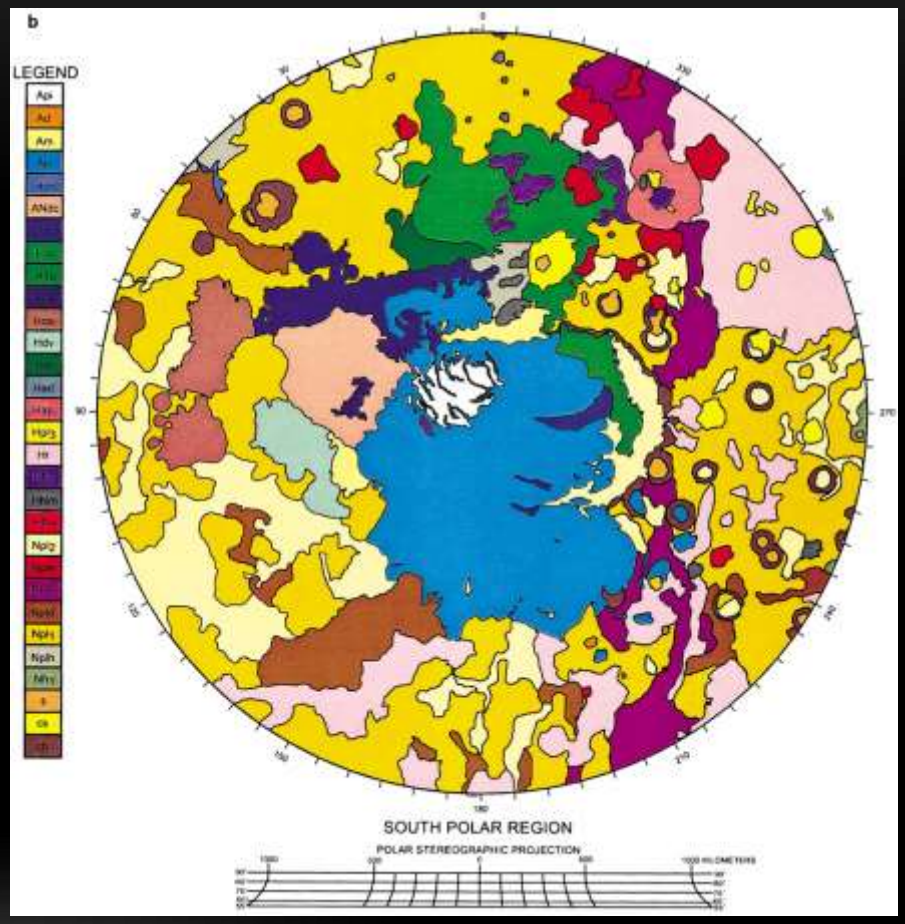
Топография:



Топографическая карта Марса с разрешением 0,015625 (1/64) на 0,015625 градус (USGS, [9]).

Геология:





ОЦЕНКА МОЩНОСТИ СЛОЯ ГОДОВЫХ АМПЛИТУД

- 1. Задача о моделировании температурных полей в однослойном и многослойном массиве (Ершов, Комаров, Пустовойт и др. 2003, Пустовойт.2005)
- Температурный режим для однослойной модели разреза оценивался нами по программе «HeatMars».
- Программа учитывает теплообмен на поверхности Марса при различных значениях потока солнечной радиации, который определяется эллиптичностью орбиты и наклонения экватора к плоскости орбиты, учитывалась также зависимость от широты местности и ориентации склонов.
- С целью определения суточного хода температуры поверхности во времени для достижения стабильного течения времени Марс «фиксировался» на определенных участках орбиты, соответствующих 12-ти сезонам на планете, и в течение марсианского месяца для фиксированной точки обрабатывались данные за время оборота планеты вокруг своей оси.

В результате обработки данных для фиксированных положений был получен суточный и среднесуточный ход температуры для определенных месяцев, который принимался за среднемесячную температуру.

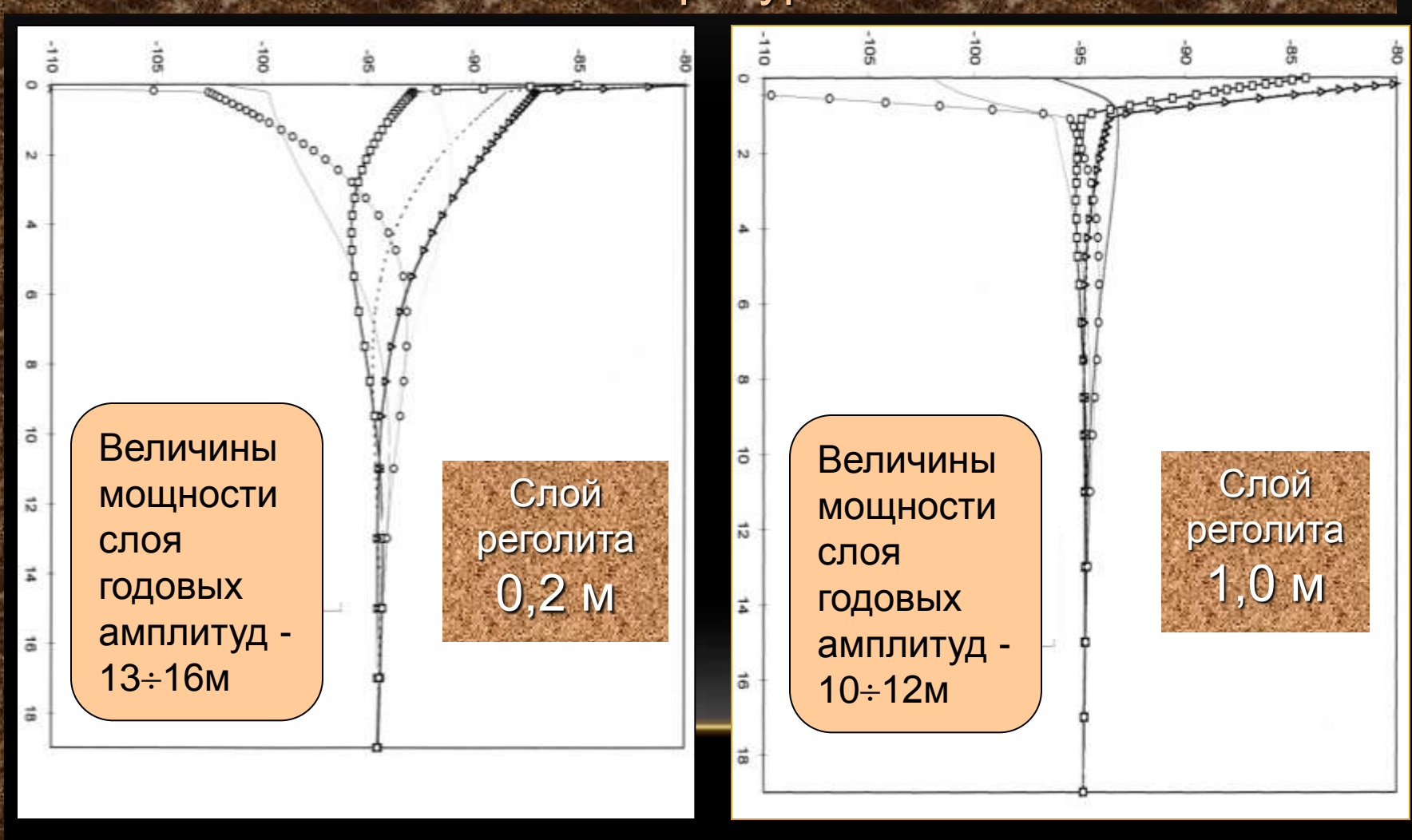
Для реализации краевой задачи использовали энтальпийную форму представления, метод конечных разностей с произвольно задаваемым шагом сетки.

Сопоставление результатов расчетов по программе «HeatMars» и программе «Marstherm» (программма HACA), дало удовлетворительное согласие (отличие не более 7%), что, на наш взгляд, связано со способом учета нами крайне незначительной и разреженной атмосферы Марса. В нашей постановке ее влияние учитывалось через единый интегральный параметр — величину, характеризующую интенсивность излучения поверхности в инфракрасной части спектра

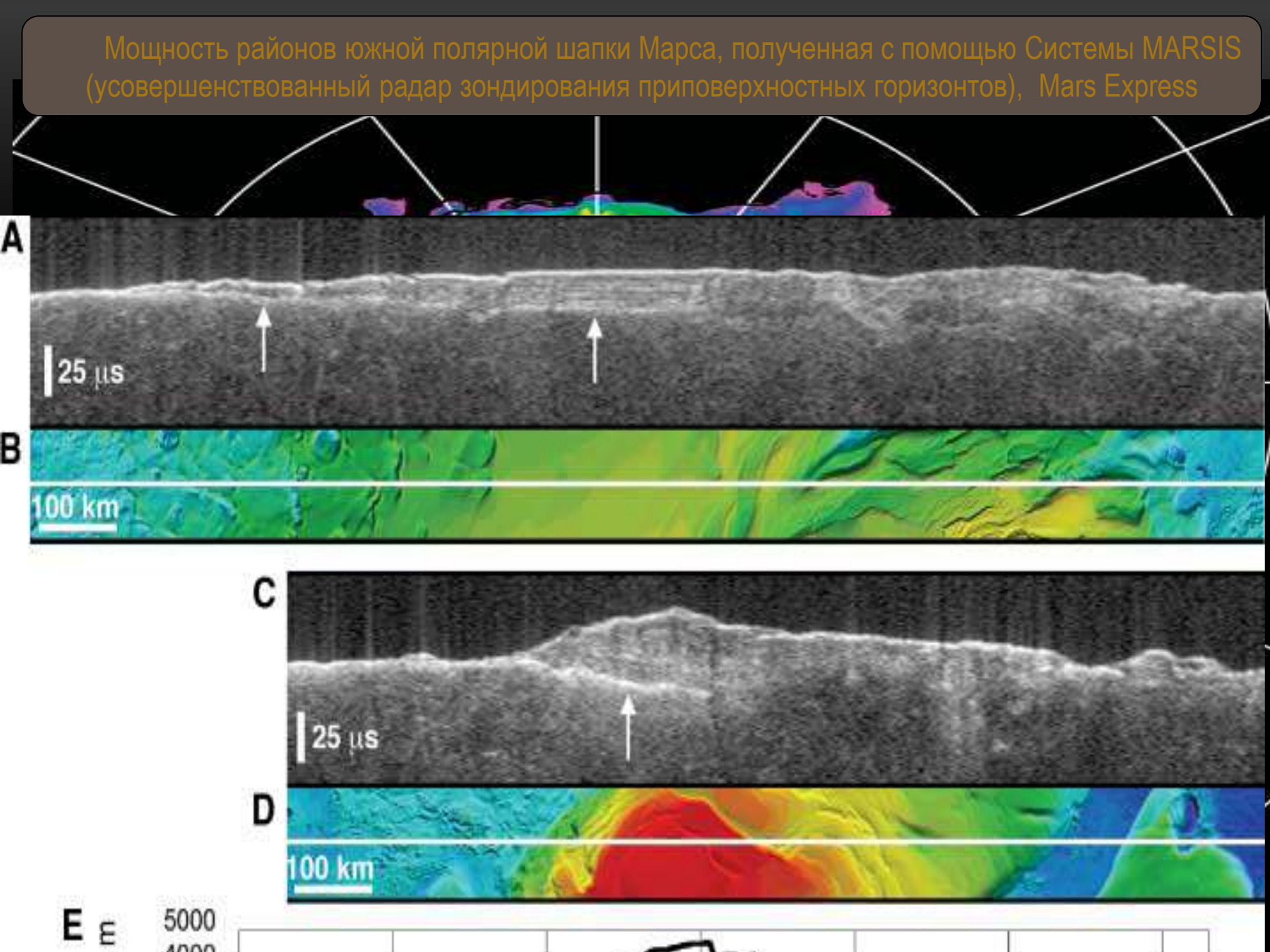
глубина

РАСПРЕДЕЛЕНИЕ ТЕМПЕРАТУРЫ ПО ГЛУБИНЕ МАССИВА





ОЦЕНКА МОЩНОСТИ КРИОЛИТОСФЕРЫ МАРСА В МЕРИДИОНАЛЬНОМ НАПРАВЛЕНИИ



Криолитосфера Марса

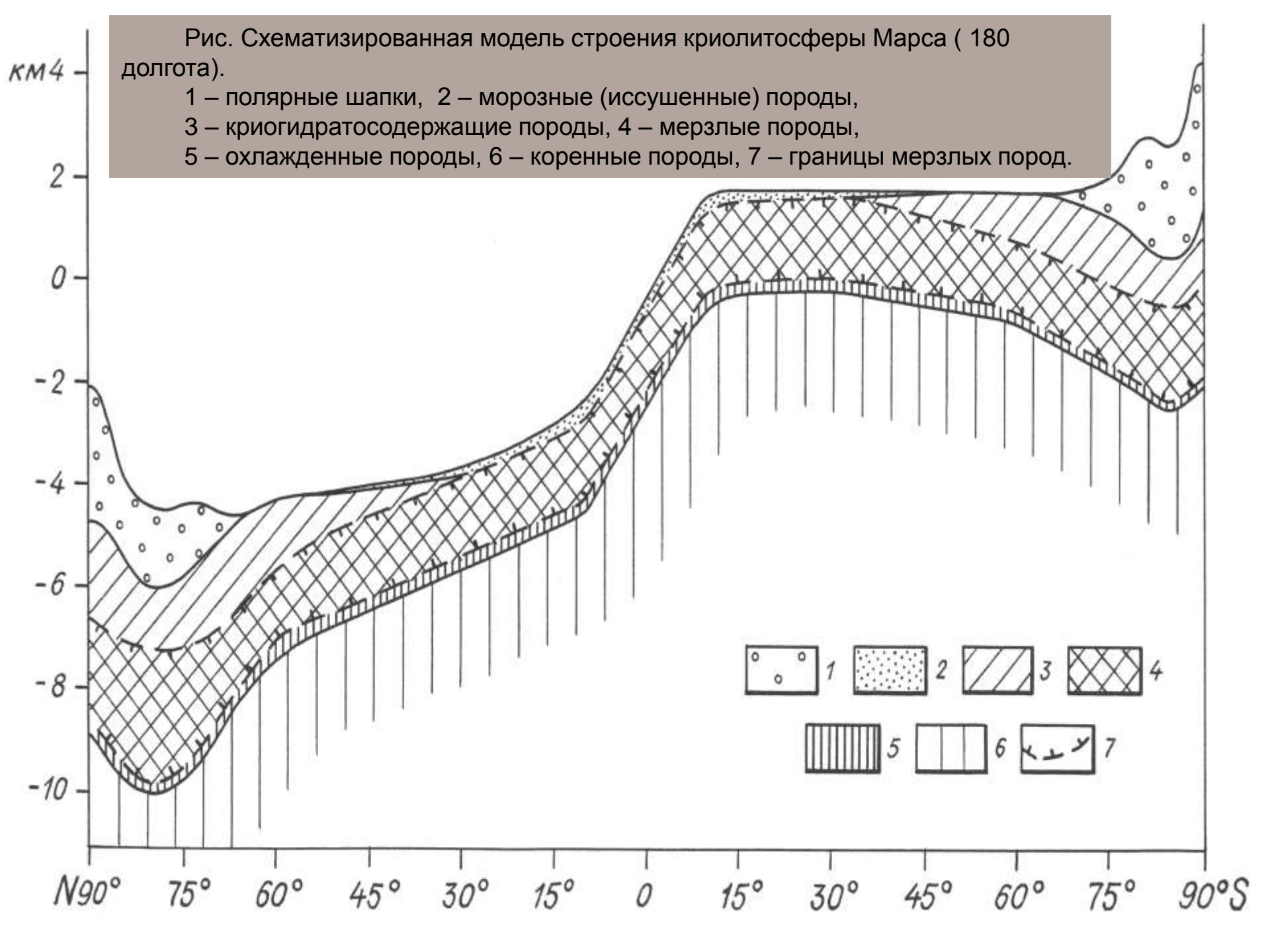
По нашим расчетным оценкам для Марса:

Суммарная мощность мерзлых пород меняется от величин в 1600 м на экваторе до 3300 ÷ 4000 м в области полярных шапок , <u>в</u> среднем составляя 2400 м, включая:

мощность собственно мерзлых пород -меняется в диапазоне 1800м -1500 м, в среднем – 1600м

мощность мерзлых криогидратосодержащих пород - меняется в диапазоне 2200м -800 м, в среднем — 1400м, в средних широтах — этот тип пород отсутствуют.

мощность охлажденных пород, располагающихся под кровлей мерзлых пород меняется от 60 м до 250м, составляя <u>в среднем 100м</u> мощность криолитосферы меняется от величин в 1700 м на экваторе до 3400 ÷ 4100 м в области полярных шапок, <u>в среднем</u> составляя 2400 м



Экзогенные криогенные процессы в высоких широтах Марса и их картирование

Согласно современным представлениям о криогенных геологических процессах и явлениях (Э.Д.Ершов, Л.С.Гарагуля) рассматриваются четыре основные группы экзогенных мерзлотно-геологических процессов:

собственно криогенные (мерзлотно-геологические) процессы, связанные с сезонными и многолетними колебаниями тепломассообмена на поверхности и в подстилающих горных породах. Это:

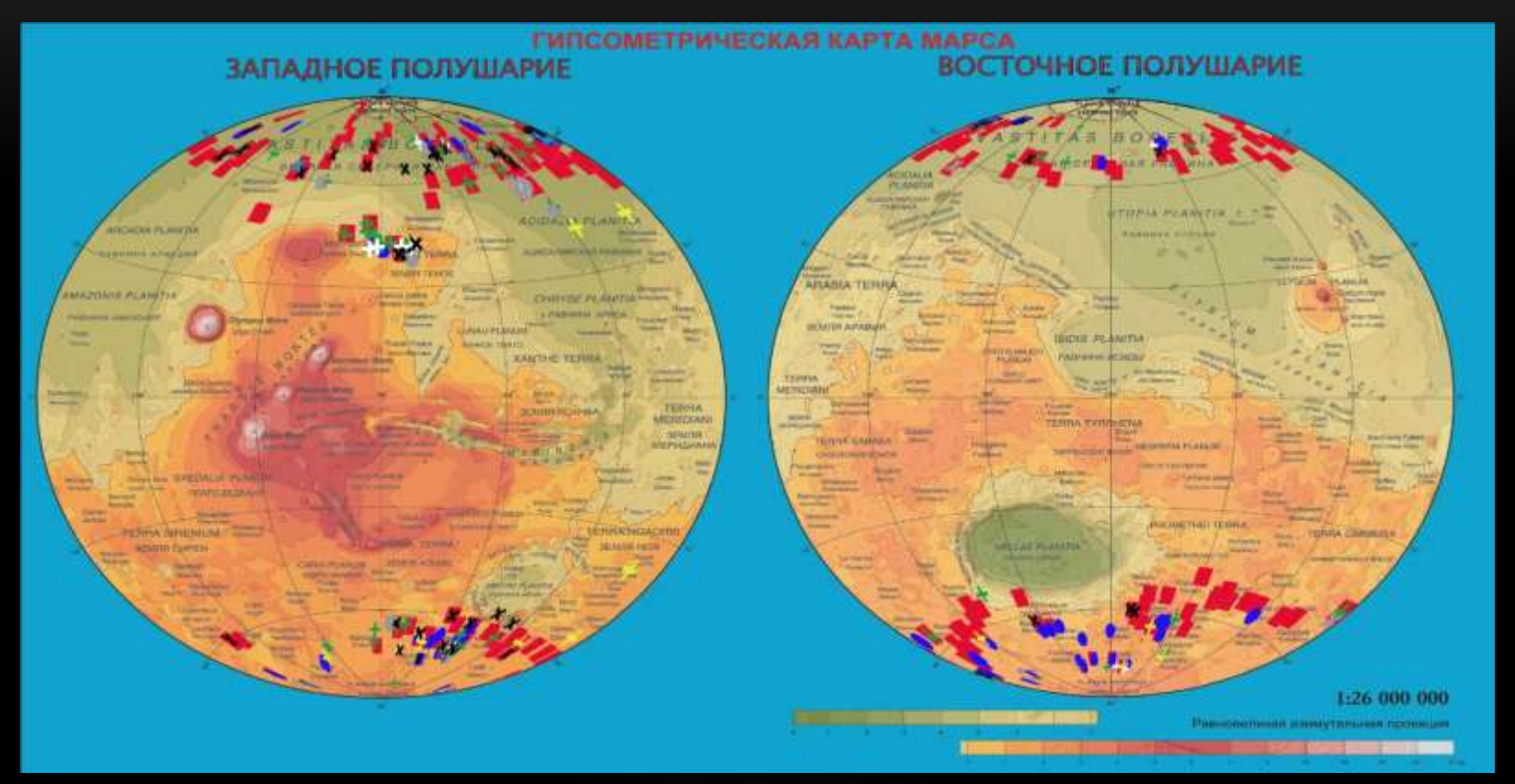
- морозобойное растрескивание и криовыветривание;
- морозное пучение пород и наледеобразование;
- термокарст.

Процессы приводят к формированию таких форм рельефа как: полигоны морозобойного растрескивания; миграционные и инъекционные бугры пучения, каменные моря и многоугольники.

Земные аналоги процессов на Марсе

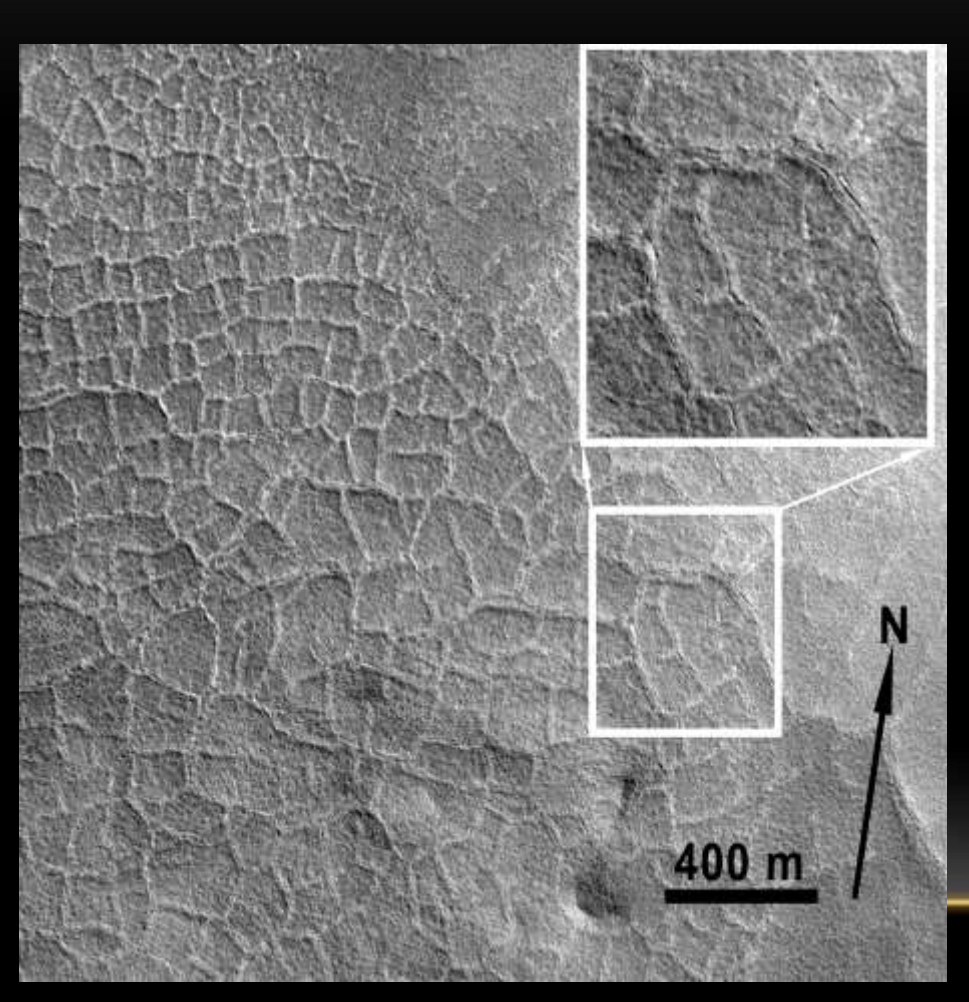


КАРТА РАСПРОСТРАНЕНИЯ ПОЛИГОНАЛЬНЫХ ФОРМ РЕЛЬФА НА МАРСЕ (Р.О.КУЗЬМИН, И.А.КОМАРОВ, В.С.ИСАЕВ, 2005)



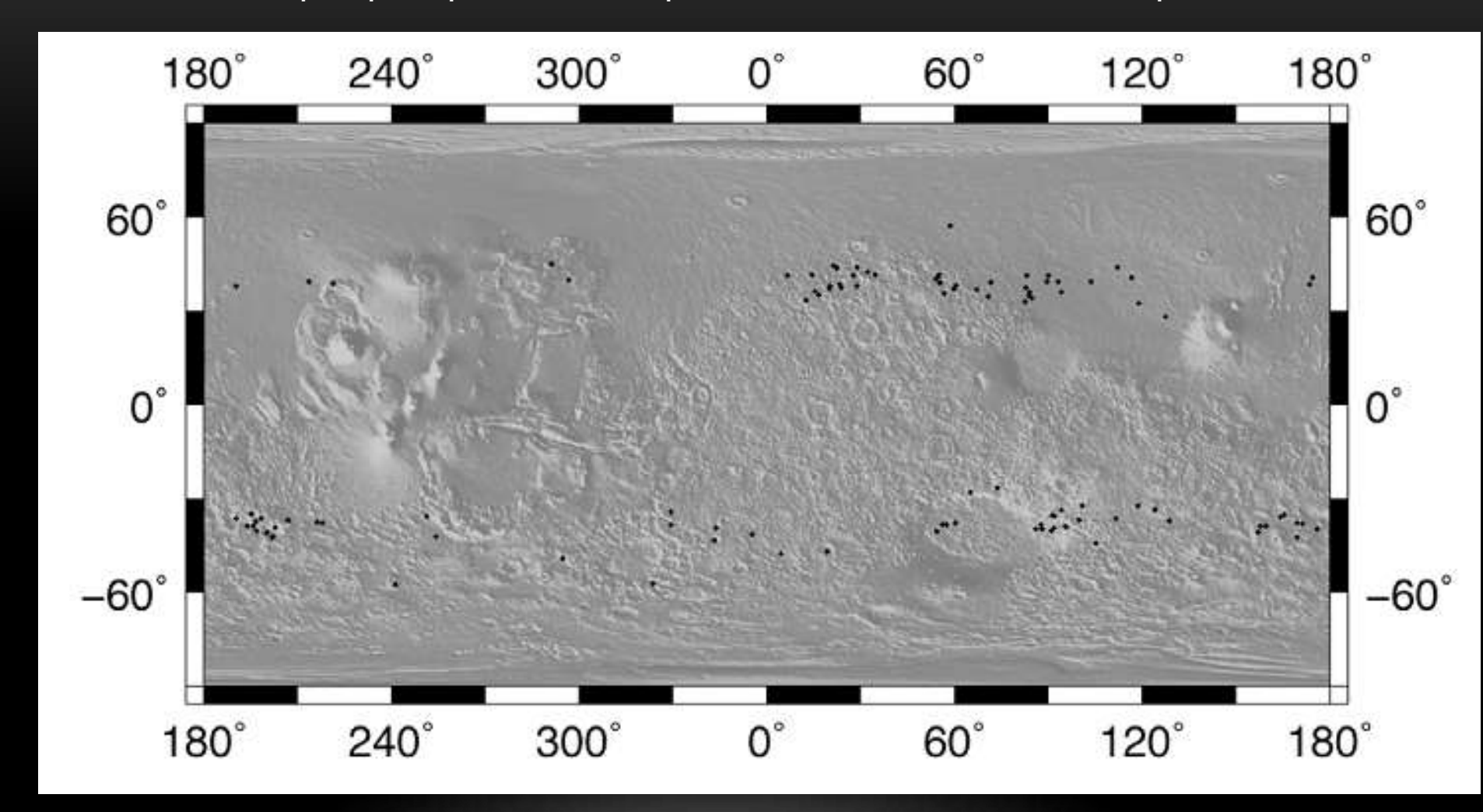
■ – тип 1.1. - регулярные сети с мелкими полигонами с высокой центральной частью (бугристые "knob" образования); • – тип 2.1. - неправильная сеть разномасштабных полигонов с ортогональной и гексагональной структурой пересечений; + – тип 3.1. - крупно-размерные полигональные сети с ортогональными и гексагональными структурными элементами; + – тип 3.2. – крупно-размерные ортогональные и гексагональные полигональные сети с явными «валиками» по обе стороны трещины. + - Тип 3.3. - крупно-размерные полигональные сети с прямоугольными полигонами, расположенными радиально от центра ударного кратера; - тип 4.1. – сеть полигонов с полностью эродированной центральной частью; × - тип 4.2. – сеть полигонов с элементами сублимации по элементам полигональной сети; • - тип 4.3. – сеть сильноэродированных полигонов – палеополигоны

ТИП 3.2. – СЕТЬ КРУПНОМАСШТАБНЫХ ПОЛИГОНОВ С ОРТОГОНАЛЬНОЙ И ГЕКСАГОНАЛЬНОЙ СТРУКТУРОЙ С ПАРАЛЛЕЛЬНЫМИ ВАЛИКАМИ ПО ОБЕ СТОРОНЫ ЛОЖБИН



Довольно редкие для Марса полигоны – по морфологии очень напоминают земные снимки с развивающимися морозобойными трещинами. Для них характерны валики по обе стороны от трещины и утопленная относительно краев центральная часть. Размеры полигонов колеблятся около 70-80 м (снимок МОК Е1300341).

Карта распределения предполагаемых пинго на Марсе



Anassessment of evidence for pingos on Mars using HiRISE. ColinM.Dundas *,AlfredS.McEwen. Icarus V205 (2010) pp. 244–258

Пример пинго на полярных широтах Северного полушария Марса

PSP_006632_2240_RGB_NOMAP_browse NASA/JPL/University of Arizona



Пример пинго в кратерах на Северном полушарии Марса

PSP_008452_2175_RGB_NOMAP_browse NASA/JPL/University of Arizona



Пример пинго в кратерах на Северном полушарии Марса PSP_008561_2205_RGB_NOMAP_browse NASA/JPL/University of Arizona



Вывод:

Для цифровой криологической карты Марса в рамках данной работы были определены основные блоки легенды и выбраны источники информации для наполнения атрибутивной базы данных

СПАСИБО ЗА ВНИМАНИЕ!